

溶 融 塩

1966. Vol. 9 索引

溶 融 塩 委 員 會

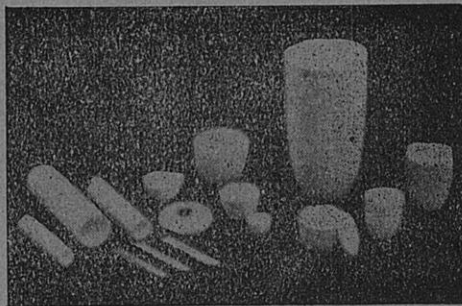


の SSA 磁器



SSA アルミナ磁器

SSA アルミナ磁器は、純アルミナ磁器ジンテルコルンドを目標として、当社で研究、製造した特殊磁器であり、高純度な $\alpha\text{-Al}_2\text{O}_3$ の微結晶を主体に高温焼結した緻密なコランダム結晶質であります。アルミナ磁器の特性である、高温耐熱性・化学的抵抗性・機械的強度・耐磨耗性等の諸性質を利用して各種用途に応じ、H・G・Sの三種類の素地に区分して製作を致しております。



SSA-H 高温に於ける耐熱性と化学的抵抗性が大である。

SSA-G 機械的強度と耐磨耗性に優れている。

SSA-S 完全なコランダム結晶を呈し化学的抵抗性がSSA-H
より優秀である。

特性と用途

	SSA-H	SSA-G	SSA-S
化学成分 %	$\text{Al}_2\text{O}_3 > 95$ $\text{SiO}_2 < 5.0$	$\text{Al}_2\text{O}_3 > 93$ $\text{SiO}_2 < 7.0$	$\text{Al}_2\text{O}_3 > 99.5$ $\text{SiO}_2 < 0.3$
比 重	3.8	3.6	3.9
吸 水 率 %	0-0.02	0-0.02	0-0.02
耐 火 度 °C	1920	—	2000
機 械 的 強 度 kg/cm^2	7000	7000	—
熱膨脹係数 (20-1000°C)	7.8×10^{-6}	—	8.1×10^{-6}
硬 度	—	モース9	—
用 途	金属熔解冶金研究用坩埚 アルカリ熔融用坩埚 硝子研究用坩埚 パイロメーター用保護管・絶縁管・燃焼管・ポート・その他	乳鉢・ポットミル及ボール・人絹用糸道 サンドブラスト用ノズル・その他	冶金研究用坩埚・ポート アルカリ熔融用坩埚
摘 要	1600°C 以上の高温に耐え高温における電気絶縁性が高く、耐酸・耐アルカリ性が大きい。	特に耐磨耗に優れてい る。	耐酸・耐アルカリ性が H素地より優秀である

SSA-H 素地の耐酸・耐アルカリ試験

	塩 酸 35%	硫 酸 96%	硝 酸 63%	苛 性 ソーダー 20%	クローム酸 ソーダー 20%
減 量 率 %	0.03	0.02	0.04	0.10	0.04

上記試験は、SSA-H 素地を (20-40mesh/inch) の粉末となし温度50°Cで50時間浸漬した時の減量率であります。

日本化学陶業株式会社

大阪市東区北浜3丁目3 Tel 大阪 231 1414

Chemical Abstract 1966年 Vol. 63 No. 1~13,
1966. Vol. 64 No. 1~13

1. 理論，物性，測定法

A.

パラ—固体水素の溶融熱	7
質量分光法による酸化物の蒸発に関する研究	7
粘性の測定 XV. : 二成分に分離している溶融二元系の等温度における粘性	7
$\text{FeO} - \text{Cr}_2\text{O}_3$ 系の平衡論的研究	7
$\text{PuO}_2 - \text{ThO}_2 - \text{BeO}$ 系および $\text{PuO}_2 - \text{BeO} - \text{MgO}$ 系擬二元系状態図	8
起電力測定による溶融 $\text{Al} - \text{Sn}$ 系の熱力学的パラメータの決定	8
固体熱起電力測定による $\text{Th}, \text{U}, \text{Ce}$ および Mg の塩化物の標準自由エネルギーの算出	9
溶融金属の電気抵抗に関する理論	9
$\text{SnCl}_2 - \text{KCl}$ 融体の起電力	9
溶融弗化物浴のボルタメトリー測定	9
融解塩中の拡散研究に関する分極電極法の試験	10
ある融解塩中におけるジルコニウムとフエナカイトの結晶化と溶解度	10
$\text{NaF}, \text{AlF}_3, \text{Al}_2\text{O}_3$ の混合融解物の表面性質	10
$\text{Ag}, \text{Tl}, \text{Pb}$ のフェロシヤナイトの熱分解	10
高温における仮説、耐熱性金属と酸化カルシウムで安定にしたジルコニア電解液よりなる固体状態のガルバニックセル	11
溶融炭酸塩燃料電池における電極反応	11
融液中における塩の分子容の測定	11
アルカリメタル塩化物融液中における MO^{3+} の拡散	11
X線分光分析による $\text{Na} - \text{Ca} - \text{ケイ酸塩ガラス}$ 中における K^+ の拡散係数の測定	11
アルミニウムケイ酸塩融液中における鉄イオンの拡散	11
溶融鉛化合物の粘度	12
$\text{NaCl} - \text{KCl}$ 固溶体の成分の分離速度に関するX線回折的研究	12
$\text{KB}_4\text{F}_4 - \text{KF} - \text{KB}_3\text{OH}$ 3成分系の状態図	12
溶融アルカリ金属塩化物と Zr の2価および4価の塩化物との熱力学的反応	12
$\text{KA}_1\text{Si}_3\text{O}_8 - \text{BaAl}_2\text{Si}_2\text{O}_8$ 二成分系	12
純粋な NaCl 中における Na イオンの自己拡散	12
溶融塩中におけるアルカリ金属塩化物と硝酸との反応	12
溶融シリカ中における酸素の拡散	13
1650°Cまでの液体セシウムの電気および熱電導度とセシウムの臨界温度	13
$\text{LiF} - \text{ZrF}_4$ 系	13
$\text{TiCl}_4 - \text{SiCl}_4 - \text{POCl}_3$ および $\text{TiCl}_4 - \text{VOCl}_3 - \text{POCl}_3$ 系の熱分析	13
溶融弗化物中での Redox 反応の分光直接法の研究	14

Cobalt titanateの熱力学的性質	14
POCl ₃ 中でのCoordination反応の熱的研究	14
NaCl - PbCl ₂ 共晶中のNiCl ₂ の放電過程の電気化学的研究および決定	15
溶融塩化カドミウム中のカドミウムの溶解	15
Cr - Ni 融体によるアルミニナの濡れ	15
溶融AgNO ₃ - NaNO ₃ の電気伝導及び構造	15
二,三の溶融塩についての粘性 III	16
溶融Sn中の不純物元素 (Ag, Al, Mn, Ge) のモビリティー	16
1300°Cに於けるアルカリゲルマネート融体の電気伝導	16
Bi - BiCl ₃ ; Bi - BiBr ₃ 融体の電気伝導度	17
AgCl, AgBrのバンド構造	17
FeCl ₂ - CoCl ₂ , FeCl ₂ - MnCl ₂ 系の融点図	17
溶融硝酸銀の陽極反応機構	17
AgNO ₃ - NaNO ₃ 溶融塩系の熱拡散槽に於ける定常状態の emf	18
MgCl ₂ - NaCl - KCl共融塩に於ける標準電極電位と起電力	18
液体Ag - Sn合金に於ける原子分布	18
液体Au, Sn及びAu - Sn合金の表面張力	19
リチウムテトラボレートの鎖状構造	19
溶融塩の熱的安定性の測定	19
二成分系ハロゲン化アルカリ融液の表面張力	19
表面張力を測定するためのRebinderの装置の改良	19
ZrO ₂ - MgO系に関する相図についての研究	20
1000°CにおけるMgO - GeO ₂ - MgF ₂ - LiF系における併立関係	20
MoO ₃ , Na ₂ B ₄ O ₇ , Na ₄ P ₂ O ₇ およびこれらの混合物融液の電気伝導度	20
CsCl - CsBr系固溶体の熱力学的性質	20
定量的示差熱分析 II 鋼酸カリに対する応用	21
Sodium tetrachloroaluminate融液における低酸化状態に関する	
起電力測定による研究	21
溶融アルカリ中におけるニッケル電極のインピーダンス	21
熱分析および導電度測定によるNa, K Cl, SO ₄ 系の研究	21
溶融炭酸塩中における腐食の熱力学 E - pCO ₃ 図の応用	22
フエライトと塩および金属酸化物の融体との相互作用	147
融解炭酸塩電解質; 二成分, 三成分系の電導度, 密度, 表面張力	147
融解LiCl中のMoとMo - イオンとの間の平衡	147
相互に不混性の融液相間でのイオン交換過程	148
融解と結晶構造	148
融解塩混合物 VII 融解塩混合物の屈折率と分子屈折	148
固体又は融解フッ化物, 臭化物, ヨウ化物を含む電池の理論的起電力	149
融解亜硝酸塩の電気化学的挙動	149
融解アルカリ金属塩化物中の炭素電極上の陽極過程	149

液体金属の物理的性質 II. 沸点から 1300° の温度範囲	149
Group I および II の溶融塩化物の自己拡散および構造	150
相平衡の研究に対する示差熱分析の応用	150
固溶体の熱分析	150
Fe, Mg, Ca の炭酸塩の 2 成分混合物の示差熱分析	150
溶融硝酸塩共融物中における金属の反応	150
溶融重硫酸塩溶媒をもつ Galvanic cell	151
溶融塩中におけるクロノボテンショメトリックな拡散係数 I. 理論	151
炭素陽極上における溶融塩からの SO_4^{2-} の陽極放電	151
液状ヘリウム中の陰イオンのエネルギー〔測定〕	151
酸化鉄—シリカ溶融体の密度	151
3 塩化アルミニウム, ガリウムの密度, 粘度, 表面張力	152
良熱伝導材料の熱伝導度 I. 測定	152
セラミック材料およびセラミック反応の X 線分析	152
溶融塩二相混合物の粘度 $\text{KCl} + \text{NaCl}, \text{KCl} + \text{KBr}, \text{PbBr}_2 + \text{KBr}$ 系	152
溶解岩塩における一価及び二価のカチオン塩化物の効果	153
溶融塩混合物 IX 溶融窒化物系の熱伝導	153
溶融レスプロカル塩混合物中の活性度計算の第一, 第二近似の適要性	
I. 第 1, 第 2 近似 $\text{NaCl} - \text{KI}, \text{NaF} - \text{KBr}, \text{LiF} - \text{NaCl}$ 系相図	153
溶融レスプロカル塩混合物中の活性度計算の第一, 第二近似の適要性	
II. ある種のアルカリハライド混合物について	153
二相溶融塩系の混合熱	154
$\text{AgCl} - \text{NaCl}$ 固溶体の熱力学的性質	154
溶解塩混合物の熱力学的性質 IV. $\text{NaCl} - \text{NaBr}$ 系の飽和蒸気の組成	154
ハロゲン化銀の微結晶の成長機構と構造	154
液体 AsBr_3 の X 線回折	155
硝酸銀の溶融および固相状態の熱起電力	155
溶融 Zn の熱起電力	155
酸化物融液中の円盤電極の陽極過程	155
$\text{KNO}_3 - \text{NaNO}_3$ 中の I_2, Br_2 , の酸化ボルタメトリー	156
溶融 AgNO_3 の可逆分解電圧	156
溶融塩ポーラログラフィーの種々の電極材料	156
$\text{Na}, \text{Cs} \parallel \text{Br}, \text{I}$ 系の融点	157
溶融塩中の鉛及び銀イオンの拡散係数	157
アルカリ炭酸塩中での H^+ が存在する時の結合 O^{2-} の交換的性質	157
銀—塩化銀及び銀—臭化銀系のクロノボテンシオメトリックな研究	157
浴からの物質の一定の結晶化における異像不純分の結晶内捕獲	158
溶融上の臭化銀の熱電気力	158
アルカリチオシアネイト溶融塩における電気化学	158
アルカリ溶融塩中のソジウム・ビスマサイド Na_3Bi のポーラログラフィー	159

炭酸塩の解離温度に影響する因子について	159
硝酸銀と1族、2族の硝酸塩混合物の熱力学的性質	160
イオン結晶体における溶融の体積変化と欠陥体積との関係	160
溶融Alおよび水銀の構造	160
錫および錫ニッケル合金の粘性	160
Liの粘性	161
臨界点までの塩化ビスマス融液の蒸気圧と蒸発のエンタルピー	307
高温での質量分析器による研究 VII. 弗化鉄(II)の昇華圧	307
CdCl ₂ —アルカリ塩化物混合物への金属カドミウムの溶解度に及ぼす希釈剤の効果	307
新しい種類の溶融塩混合物、独立した陽イオンと見做せる水和2荷イオン	308
ほう砂融液にかけたNiOの熱力学的性質	308
融液状硫酸塩中のCr(III), Cu(II)の配位	309
一価金属の溶融硝酸塩の内部マサツ	309
熱力学的変数と粘性との関係	310
フッ化タリウムの蒸発とその気体二量化の熱力学	310
蒸発の潜熱の還元相関の参照状態	310
圧力—温度曲線の実測値から反応のΔHの決定	310
固体状態のe.m.f.の技術: NiCl ₂ , CoCl ₂ の生成自由エネルギー	311
融体からの纖維構造の生長	311
液相から再生長させたビスマスのフィルム	311
無機化学に於ける規則—不規則現象	311
液体塩化物及び臭化物でのNi(II)中心の吸収スペクトルに及ぼす稀ガス型カチオンの影響	312
液体二酸化イオウ電解質での陽極としてのアルカリ金属	312
溶融アルカリ土類塩化物中の二重層の容量	312
白金／ハライド金属間の電気二重層の吸着と微分容量	312
金属塩の銀交換電流の測定	312
溶融塩電解質	313
火焰中での平衡反応による金属ハライドの解離エネルギーの決定	
III. CaCl, CaCl ₂ , SrCl, SrCl ₂ , BaCl ₂ の解離エネルギー	313
高温、高圧下での蒸気圧測定の新方法	313
溶融塩中でのZr燐酸塩のイオン交換性	314
二元溶液の熱力学的性質を用いて三元系の活量の決定	314
40 Kilobar下でのKNO ₃ の相図	314
KNO ₃ —Ba(NO ₃) ₂ 系の部分理想溶液の挙動	315
Na, Tl NO ₂ , NO ₃ 系の溶融性	315
液体Mg—In溶液の熱力学的性質	315
共融点をもつ状態図の熱力学的研究	315
溶融物質の過冷却に対するPlatoの熱分析によってみちびかれる誤差について	316

濃淡電池の起電力法による熱力学的性質の研究, $\text{SnCl}_2 + \text{TlCl}_2$ 系について	316
室温以上での TlF , TlBr , TlI の ΔH , ΔS , ΔF について	316
溶融硝酸塩の電導度に及ぼす圧の影響	316
アルカリハライドのラマンスペクトル	317
溶融塩に於ける電極電位 IX. $\text{AgCl}-\text{AgBr}$ 系に於ける液体ジャンクション	
ボテンシヤル	317
$\text{LiNO}_3 - \text{NaNO}_3 - \text{KNO}_3$ 溶融塩中での臭化物, 沢化物のポーラログラフ	317
液体 Sm 中での Zn, Pb の稀薄溶液に於ける熱力学的相互作用についての起電力測定	318
純塩化銀中における銀の自己拡散	318
液体の粘度	318
$\text{SnCl}_2 - \text{KCl}$ 融液の蒸気圧	318
酸化亜鉛と酸化アルミニウムとのあいだの反応速度および反応機構	319
$\text{FeO} - \text{Al}_2\text{O}_3$ 系の相図	319
$(90\% \text{SiO}_2 + 10\% \text{TiO}_2) \cdot \text{CaF}_2$ の相図	319
溶融塩中における塩化水素の溶解度	319
溶融塩混合物の物理的性質	319
溶融塩の電気伝導度	320
溶融アルカリ金属塩化物中におけるモリブデン(III) クロライドの熱力学的諸性質	320
溶融塩混合物の熱力学的諸性質 V. 条件つきの理想系	320
溶融塩混合物の熱力学的諸性質 VI. 塩化カリウム-塩化ナトリウム系	320
$\text{BeO} - \text{B}_2\text{O}_3$ 系における蒸発の熱力学	320
$\text{PbCl}_2 - \text{PbS}$ 溶融混合物の電気伝導度と内部構造物の諸性質	
I. 内部構造的諸性質	321
$\text{PbCl}_2 - \text{PbS}$ 溶融混合物の電気伝導度と内部構造的諸性質	
II. $\text{PbS} - \text{PbCl}_2$, $\text{Pb} - \text{PbS} - \text{PbCl}_2$ 系の電気伝導度	321
弗化物融液の赤外線反射スペクトル 弗化カリウム-弗化リチウム系における	
Ta(v) の加水分解	321
硝酸銀, 硝酸リチウムおよび硝酸ストロンチウム混合物の熱力学的安定性	321
炭酸塩融液の電解に際しての白金電極上における陽極過程	322
$\text{MgO} - \text{Al}_2\text{O}_3 - \text{CaO}$ 系における固溶体の生成とその工学的諸性質	322
溶融塩の電導度に及ぼす不活性ガスの圧力と溶解度の影響 I. アルゴンと	
ヘリウム- NaNO_3 系	322
高温における固体および融体中の半導体の熱電気的性質の測定法	323
溶融塩中での反応	323
二三の溶融塩化物および弗化物中における CrF_3 , La_2O_3 のイオン化について	323
溶融炭酸塩電解浴中に浸漬した白金電極上での酸素のイオン化	323
溶融塩中での電気化学的平衡状態図の表示と実際的応用	324
AgNO_3 , $\text{Sr}(\text{NO}_3)_2$ およびアルカリ硝酸塩の溶融混合物の起電力の測定	324
融解塩の粘度の測定 I. 円筒振動法の原理	325

融解塩の粘度の測定	II. アルカリおよびアルカリ土類の塩化物について	325
CaO—HfO ₂ 系の中間組成の構造と安定性		325
無機塩の2成分系の赤外的研究	II. Ca ₂ SiO ₄ —Sr ₂ SiO ₄ 系	325
Gd ₂ O ₃ —Al ₂ O ₃ および Sm ₂ O ₃ —Al ₂ O ₃ 系		326
NaCl—CsCl, KCl—CsCl系の蒸気圧		326
NaCl—NaF—Na ₂ ZrF ₆ 三成分系の密度と分子容		326
Na ₂ O—ZrO ₂ —SiO ₂ 3成分系		326
結晶—融液相転移領域における塩類の電導度		327
2成分系の酸化物と金属との溶融状態図		327
Na および K のフッ化物, 塩化物および AlF ₆ の三成分系の溶融状態図		327
溶融有キ塩中における金属塩化物の EMF 系列	III. Cu (I), Cu (II),	
Bi (III) 塩化物のジメチルアミン塩酸塩		327
溶融有キ塩中における金属塩化物の EMF 系列	IV. Sn (II), Pb (II),	
Ni (II), Co (II) 塩化物のジメチルアミン塩酸塩融液中における値		328
溶融アルカリ金属水酸化物中への BeO の溶解		328
Li, Na NO ₂ , NO ₃ 系融液の導電度		328
CdS 結晶生長のための溶融塩浴媒		329
NaCl および CaF ₂ と融解する場の化学結合の性質の変化		329
溶融塩中におけるガスの陽極溶解についての電位—電流関係		329
溶融塩化物混合物の電気化学的挙動		329
溶融炭酸塩中における酸素の電解還元における濃度分極		330
Na, Cs 硝酸塩融液中におけるイオンの輸率および易動度		330
溶融塩化物に溶解した塩素の拡散係数		330
溶融電解質の粘性	I.	330
2.3 の溶融金属の音波伝播速度と圧縮性		331
溶融塩中のイオン交換	I. 特別なアルカリ金属およびアルカリ土類金属を含む溶融硝酸ソーダ中での5つの鉱物イオン交換物質のイオン交換特性の比較	331
溶融KCl—NaCl 混合物への HCl の溶解度		331
液体ガリウムの free surface energy と密度の温度依存性		332
溶融塩の電極の性質と分類		332
イオン融体の電極電位		332
白金電極での溶融塩化物のポーラログラフ的研究		332
Pt—Pb, Pd—Pb 融体の 800—1200°での活量測定		333
II A 属の低価塩のイオン化電位		415
Rb ₂ O—B ₂ O ₃ 系液体の蒸気圧測定及び構造解析		415
融体の熱起電力についての温度及び面間の影響		415
SbCl ₃ —AsCl ₃ 系		416
二元混合溶融塩に於ける自己拡散及び相互拡散		416
NaCl, KCl 結晶に於ける斥力エネルギー		416
カドミウム—カドミウムハライド系融体の電気伝導度		416

融点附近に於けるAg NO ₃ の電気伝導	417
Bi-Pb合金の融解中の熱起電力変化	417
二三の四面体構造の四ハロゲン複合化合物に於ける振動の平均振幅	417
アルカリ塩化物、硝酸塩融体に於けるRh(III)の可視、紫外吸収スペクトル	418
液体金属、合金、塩の核磁気緩和	418
溶融体中の白金一ガラス電極	418
濃淡電池の起電力から二元溶融塩系の熱力学的活量の計算及び拡散電位	419
LiCl-KCl共融塩中での450°Cに於けるPtの陽極挙動	419
溶融塩中での定常電極への対流拡散	419
溶融塩系の電極電位	420
溶融NaOH中での金属の腐食、防食	420
イオン融体中の電気泳動と自己拡散	420
バイログラフイト中の金属の拡散	421
接触角の測定による固体の自由表面エネルギーの算出	421
接触角の測定による固体の自由表面エネルギーの算出	421
液体の粘性と構造の温度変化	421
高温下での質量分析的研究IX フッ化銅の昇華圧	421
遷移元素窒素化物の溶融酸化物、溶融液体金属によるぬれ	422
融点および沸点の微細測定の手法	422
Cu-Fe-O系の平衡関係	422
KNO ₃ -Sr(NO ₃) ₂ 2成分系の熱力学的考察	422
K ₂ WO ₄ -WO ₃ 系の状態図	423
低融点融体の伝導度およびK ₄ CoCl ₄ (NO ₃) ₂ の性質の解明	423
気体と気体凝縮相反応の高温化学および物理に関する総説	423
溶融アンモニウム硝酸塩中のバイレツクスガラス電極の陽イオン選択性	424
2,3成分系ハロゲン化物溶融塩の表面張力の温度依存性	424
PbCl ₂ -KCl-NaCl混合溶融塩の中のBiの挙動	424
高温におけるアルミニ酸コバルトおよびニッケルの熱力学的性質 (起電力測定による)	425
混合フッ化物溶融塩の熱力学的、構造論的性質	425
AgNO ₃ -LiNO ₃ -KNO ₃ 系溶融塩の熱力学的研究	425
溶融塩の電気化学	425
溶融硝酸塩の中のクロノボテンショメトリー	425
アルカリハライド中に孤立している小さい多原子イオンの振動の外部モード	426
液体金属の熱物理並びに移送の性質	426
液体の粘性と電気伝導度の活性化エネルギー	426
二元液体混合物の粘性	426
液体中での分子反応の研究への超音波法の適用	426
単純液体の表面張力	427
簡単な液体混合物の表面張力	427

二元液体混合物の表面張力	427
液体の超音波による atomization メカニズムと応用	427
二元合金の熱力学的性質からの三元系での溶解度等温性	427
多成分 complex 系のイオンの易動度の計算	427
非水電解質溶液の熱力学	428
イオン結晶の熱電能 III KCl の移送熱	428
溶融塩混合物 X CdCl ₂ —PbCl ₂ , CdCl ₂ —NaCl, CdCl ₂ —KCl, PbCl ₂ —NaCl, PbCl ₂ —KCl, CdI ₂ —KI の熱化学	428
平板間にあるゲルマニウム融体の結晶化の研究	428
融体からの引き上げによる結晶化の間の生成物の型の変化	428
アルミニウムとゲルマニウムの樹枝状晶化	429
ゲルマニウム単結晶の樹枝状成長	429
固体及び液体 GeS, SnS, PbS の電気的性質と構造	429
Tl—S 系での半導体融体の電気的性質	429
タリウムとテルルの液体半導体溶液の電子的性質	429
溶融塩のパルス・ボーラログラフィー	430
1価および2価の硝酸塩融液混合物中の会合係数。I. 硝酸カリと硝酸カルシウム 又は硝酸ストロンチウム混合物中の塩化銀の会合	430
共融点のある二成分系融液の電気伝導度、密度、モル容積	430
電価不齊二成分系ハロゲン化物融液の熱力学 II. 塩化マグネシウムと 塩化アルカリと塩化銀混合物	431
カニアイト (Al ₂ SiO ₅) の生成エンタルピー	431
Traveling-Solvent 法による CaWO ₄ 単結晶の成長	432
ハロゲン化亜鉛とハロゲン化アルカリの混合溶融物のラマンスペクトル	432
溶融 Ag I + K I 混合物の起電力法による研究	432
1000°までの高温用遠心分離器	433
弗素ガスと反応性弗化物蒸気用記録式熱天秤	433
示差熱分析装置と組合せた高温顕微鏡	433
Li—Ag—Cl—Br の Reciprocal System	433
ZnS—CdS 固溶体と Cd—Zn 融体との間の平衡	434
PbCl ₂ —ZnCl ₂ 系融解塩の熱力学的性質	434
高温における Na の電気抵抗と Wiedemann—Franz—Lorenz 則の適否	434
融解塩中にとけた金属の電気伝導度	435
NaNO ₃ , KNO ₃ , LiNO ₃ , CsNO ₃ , NH ₄ NO ₃ , TiNO ₃ , AgNO ₃ の 2元融解硝酸塩のラマンスペクトル	435
融解 LiCl—KCl を用いた半酸化還元燃料電池の電極特性	435
種々の温度における定電位電解法の研究	435
融解酸性硫酸カルシウム中の金属の電位	436
金属融体の構造	436
Cylinder 法による超高温熱伝導度の測定	436

B.

実験室用高温炉	333
高温での粘性の測定	333
融解塩を活性化させる方法と装置	436

2. アルミニウム

A.

FeO—SiO ₂ —Al ₂ O ₃ 融体中に存在するアルミニウム酸化物	22
Al と AlF ₃ との反応	23
アルミノシリケートを硫酸によりアルミナに変化させる方法	23
補正再結晶法によるアルミニウム単結晶の成長	23
低品位ボーキサイトからアルミナの抽出	24
アルミニウムセルの陰極被覆および材料	24
アルミニウム製造における熱電子過程の限界電流密度に及ぼす陽極材質の影響	24
アルミニウム電槽の分極現象	24
アルミナの融点と 2, 3 の関連した観察	24
Na ₃ AlF ₆ , K ₃ AlF ₆ , Li ₃ AlF ₆ を含む系についての物理化学的研究	
I. Na ₃ AlF ₆ —K ₃ AlF ₆ 系の融点	25
CO ₂ と陽極との反応性のテスト	25
純粋なアルミニウムおよびアルミニウム合金の熱伝導度	II. 融解アルミニウム
およびアルミニウム合金	161
Na ₂ O/Al ₂ O ₃ 比の 1 より大きい場合でのアルミノゲルマン酸ソーダ (sodium aluminoermanate) 融体の構造	161
AlCl(g) の生成熱と AlCl ₃ (g) のエントロピー	162
溶融クリオライト上の蒸気中における Na の存在についての分光的研究	162
Al の電解製造における黒鉛陽極の消耗についての実験室的研究	162
Hall-Heroult cell からの陽極ガスについての研究	163
Al 電解の 10,000A 実験槽からのフッ素発生に及ぼす要因	163
電解中における表面張力の影響	163
炭素タイニングと Hall-bath との反応	163
アルミナ電解中における陽極過電圧	163
Al 電解槽への耐火性カーバイトおよびボライドの応用	164
1500°Cまで液状 Al の密度測定	164
溶融水晶石からのコランダムの晶出	164

溶融Al-Biに及ぼすMgの影響	164
氷晶石一アルミニウム融液電解のときの陰極プロツクの安定性に対し電解質中の金属	334
アルミニウムと塩添加物の及ぼす効果	334
溶融SAPでの構造変換	334
Al_2O_3 の熱膨脹	334
Al還元の電解槽の構成及び操業	335
$NaF-AlF_3-Al_2O_3$ 融体へのAlの溶解度	335
クリオライト一アルミニウム融液の電解における塩添加物の使用に関する研究	335
$Al_2O_3-SiO_2-Na_3AlF_6$ 系中の溶解度から計算した $Al_2O_3-SiO_2$ 系	
での安定度	336
アルミニウム電解槽用の陽極と内張りペーストの製造	336
アルミニウム製造セルの陽極現象 I. 過電圧の影響	337
溶融電解質の粘性II.	337
アルミニウム電解浴の組成と関連した2,3の問題	337
リチウム弗化物一アルミニウム電解浴の有効成分	338
クリオライト一アルミニウム融体の工業的電解のときの2,3のパラメーターの相互依存性の研究	338
熱起電力法による二元合金の熱力学的性質 X. $Al-Sb$ 系	437
アルミニウム酸化物の炭素還元	437
$Mg F_2$ を含むアルミニウム電解融液中の NaF ; AlF_3 のモル比の決定	438
液体 Al_2O_3 の電導度	438
アルミニウム電解製造理論の最近の進歩	438
液体の氷点降下法による研究と溶解した氷晶石 ($BaCl_2$ による氷点降下研究)	438
Al還元槽の電子計算機制御	439
塩浴中でAl鉄造物を清浄にする	439
溶融 $Al_2(SO_4)_3$ 中の金属の腐食	439
VEB Bitterfeld工場の熱効率を改善し溶融アルミニウム電解効率を改善	439

B.

アルミニウム一珪素溶融物から不純金属および過剰 SiO_2 の除去	25
アルミニウム製造用電解槽	25
アルミニウム電解炉における遠隔操作装置	26
溶融塩電解による純アルミニウムの製造	338
アルミニウム電解槽に於ける電解液の高さの測定	440
溶融ハロゲン化物電解によりAlやこれに似た金属の析出	440

3. アルカリ，アルカリ土類

A.

溶融炭酸アルカリのトレーサーイオンの拡散	26
溶融塩中のイオン交換。 I. 代表的なアルカリ金属とアルカリ土類の陽イオンを含む溶融 NaNO_3 中における5つの交換剤のイオン交換特性。	26
$\text{LiF}-\text{NaF}$ および $\text{NaF}-\text{NaCl}$ のハロゲン化アルカリ共融物の微構造	27
硝酸カリの相転移の電導的研究	27
液体Naの比熱	27
アルカリ造塩化物の帯状精製装置および操作法	27
MgO および Al_2O_3 の電気伝導	27
液体アルカリ金属の密度	28
融解弗化物の密度と表面張力	28
液体マグネシウムとカルシウムの蒸気圧	28
ストロンチウム弗化物およびバリウム弗化物の昇華のラングミュア法による研究	28
アルカリ金属の蒸気圧の測定	29
アルカリ金属Nitrate融体の電気伝導度と密度	29
高純度塩化カリウム	29
200°C迄の温度に於けるアルカリ金属の臭化物，沃化物の高圧下での変態	29
沃化バリウム，沃化セシウム蒸気の質量分光	30
$\text{HgBr}_2-\text{LiNO}_3$ 融体中のアルカリ金属臭化物の分布	30
$\text{Na}, \text{K}, \text{Sc}$ 弗化物の三元系	30
$\text{NaF}-\text{LiF}, \text{NaF}-\text{KF}, \text{NaF}-\text{RbF}$ 系の相図	31
CaCl_2-CaO 系の溶融塩電解系；溶解度，金属含有量，凝固点	31
Mg融体電解	31
硝酸リチウムの熱分解反応	31
塩化マグネシウム電解の改良法	31
$\text{MgCl}_2-\text{NaCl}-\text{BaCl}_2$ 系の融体の粘性	165
融解 $\text{KNO}_3-\text{LiNO}_3$ 系中での $\text{Li}^+, \text{K}^+, \text{Na}^+$ の電気的易動度と拡散	165
アルカリ金属の溶融炭酸塩の粘度 I. $\text{Na}_2\text{CO}_3-\text{K}_2\text{CO}_3, \text{Li}_2\text{CO}_3-\text{Na}_2\text{CO}_3, \text{Li}_2\text{CO}_3-\text{K}_2\text{CO}_3$ 系	165
Mgおよびその合金	166
溶融 KHf_2 の電解中の陽極反応に及ぼす二，三の金属弗化物の影響	166
高純度マグネシアの製造	166
$\text{Li}, \text{Na}, \text{Cs}$ 弗化物系	166
リチウム，セシウム弗化物，塩化物系	167
高圧でのハロゲン化カリウムの溶融曲線	167
$\text{MgCl}_2-\text{MnCl}_2$ 系の溶融図	167

塩合金 $\text{NaCl}-\text{KCl}-\text{CaCl}_2-\text{BaCl}_2$ の溶融度の研究	167
塩化ナトリウム浴へのナトリウムの溶解度	168
硝酸ナトリウムの電気伝導度	168
$\text{Li}, \text{Na}, \text{Cs} \parallel \text{NO}_3$ 及び $\text{Li}, \text{Na}, \text{Rb} \parallel \text{NO}_3$ の系	168
共融混合物 $\text{LiCl}-\text{KCl}$ のボーラロ的研究	169
1307~1806°Kにおける Li の蒸気圧	169
KnudsenおよびLangmuir法による Cd F_2 の昇華圧の測定	169
reactive systemの状態図と平衡圧との関係 $\text{NaCl}-\text{Na}_2\text{ZrCl}_6$, $\text{KCl}-\text{K}_2\text{ZrCl}_6$, $\text{NaCl}-\text{KCl}-\text{ZnCl}_4$ 系	170
高温におけるアルカリ金属の電気伝導度および熱伝導度	170
高周波放電によるアルカリおよびアルカリ土類金属塩化物の還元 I. 水素放電	170
$\text{Mg}_2\text{Si}-\text{Mg}_2\text{Pb}$ 系	170
過酸化カリの融点	339
ナトリウム, カリ, バリウム塩化物融液の密度とモル容積	339
ナトリウム, カリウム, ランタンの弗化物系	339
熱の直接除去による融液からのハロゲン化アルカリ単結晶直接成長	340
$\text{Li}, \text{Cs}/\text{NO}_2, \text{NO}_3$ 系の電気伝導度	340
硝酸銀と硝酸リチウム混合物融液の相平衡図	340
$\text{Ca}-\text{NH}_3$ 溶液の物理的性質	341
$\text{KCl}-\text{NaCl}-\text{CrCl}_3$, と $\text{KCl}-\text{NaCl}-\text{VCl}_3$ 三元素の固相互溶解度の X線的研究	341
溶融アルカリ, アルカリ土類硝酸塩混合溶液の当量容積	341
溶融アルカリ塩の圧縮率	342
炭化カルシウム生成の示差熱分析	342
$\text{K}_2\text{Cl}_2 \cdot \text{BaCl}_2$ 生成のエンタルピー	342
アルカリ土類金属のチオシンケートに関する研究	342
リチウムメタジルコネートの構造および諸性質とその合成条件との関係	343
塩化リチウム融液中における平衡電位	343
$\text{NaCl}(\text{l})-\text{KCl}(\text{l})-\text{Na}(\text{l})-\text{K}(\text{l})$ 系の平衡の実験的決定	343
$\text{NaCl}(\text{l})-\text{Na}(\text{l})$ および $\text{KCl}(\text{l})-\text{K}(\text{l})$ 系の混合自由エネルギーの決定	344
炭酸カルシウムの分解温度	344
高温でのアルカリ金属液体の熱的, 電気的性質の実験的研究	441
$\text{Na}-\text{K}-\text{NaCl}-\text{KCl}$ 系	441
$\text{Li}^+, \text{K}^+, \text{Sr}^{++} \parallel \text{Cl}^-$ 系	441
$\text{Na}, \text{K}, \text{Ca}, \text{Ba}$ の塩化物で作る系	442
$\text{Na}, \text{K}, \text{Ca}$ の塩化物, 弗化物で作る系	442
遷移金属のアルカリ塩化物塩 V $\text{RbCl}-\text{FeCl}_2$ 及び $\text{CsCl}-\text{FeCl}_2$ 系	442
遷移金属のアルカリ塩化物塩 VI $\text{KCl}-\text{MnCl}_2, \text{NaCl}-\text{MnCl}_2$ 系	442
及びアルカリ塩化物塩の構造	442
融点近傍における NaNO_3 の電気伝導度	443

溶融アルカリ土類臭化物中の薄壁臭素電極の性能	443
溶融カーナライトの加水分解物の塩素化	443
アルカリハライドのモノマーの解離エネルギーと分子定数との間の新しい関係	443
GaCl ₃ とBeCl ₂ , MgCl ₂ , CaCl ₂ , BaCl ₂ との反応	444
アルカリ塩化物融体中のアルカリ土類酸化物の溶解度	444
CdCl ₂ -ZnCl ₂ 融体中のCdの溶解度	444
Li, Kと弗化物と塩化物の reciprocal 系	444
⁶ LiClと ⁷ LiCl融液中のLiアイソトープの易動度	445
Li蒸気と黒鉛の反応	445
溶融塩原子炉の熱力学	445
BaCl ₂ -KCl状態図	446
Na ⁺ , K ⁺ , Cs ⁺ // I ⁻ 系	446
ナトリウムの酸化物とNa ₂ O-NaOH 2元系	446

B.

アルカリ金属塩化物浴の電解用陽極	32
アルカリ土類金属の製造	32
リチウムの製造	32
CsClの金属への還元	170
アルカリ金属酸化物製造法	344
溶融塩化物の電解によるNa又はKの連続抽出法	344
Mg 製造用無隔膜電解槽	446
融解NaCl-CaCl ₂ 電解における電流効率の改善	447

4. Be, Ti, Zr, Hf

A.

TiCおよびZrCの高温における熱容量	33
Ti-Pd系のTiの多い部分の状態図	33
ZrとCO ₂ およびCOの850°における反応	33
高温におけるZrおよびZircaloy-2の電気化学的測定 II 200°-300°	33
Ti, Zr, Nb, Taの炭化物と炭化ハフニウムの固溶体；その製造と物理的性質	34
ZrCl ₄ およびHfCl ₄ の標準生成熱	34
Beの理論的比熱	34

Zr—Cl系	34
融解塩中の TiO_2 の溶解度と金紅石の結晶化	35
溶融塩化セシウム中でのジルコニウムの平衡電位	35
$FeO-TiO_2$ 系での化合物の生成	171
$LiF-NaF-ZrF_4$ 系；相平衡と結晶学的データ	171
融解 KCl 中での $TiCl_4$ の溶解度と分解電位	171
融解 $NaCl-KCl$ 中での塩化チタンの反応の熱力学	172
融解塩からチタンの電解精製	172
$TiCl_4$ の蒸気圧	172
Tiおよびその将来性	173
BeO および他のII-VI化合物の圧縮率	173
Y_2O_3 で安定化した ZrO_2 において $1300^{\circ}C$ で通電することにより ZrN の生成	173
弗化物一塩化物溶融塩中の TiO_2 の電解による陰極生成物と電解浴の研究	173
TiO_2 からTiの電解製造	174
Hf—C系	174
クロライド—フルオライド浴中のベリリウムのフルオライド錯塩	174
W—Re—Hf三元系	175
硝酸溶液からTiおよびZrの抽出	345
塩化リチウム—塩化カリ共融物中の Ti , Zr , Hfの熱力学	346
起電力測定法による塩化ベリリウム—塩化ソーダ系	346
溶融塩化ベリリウム—アルカリ塩化物からBe—金属の電解析出	346
溶融 $KBr-NaBr$ 中での Ti^{++}/Ti^{3+} の酸化還元電圧	346
起電力法による $BeCl_2-NaCl$ 系の研究	347
$NaF-NaCl-Na_2ZrF_6$ 系の溶融相図	347
チタングループ金属の化学冶金 I 固体 ZrI_4 の蒸気圧	347
チタン金属グループの化学冶金 II ZrI_3 , ZrI_2 の製法及び性質	347
チタン金属グループの化学冶金 III ZrI_3 のディスプロポーション	348
電析 Zr の構造に及ぼす電解条件の影響 I 4価の Zr を含む塩化物浴の電解	348
ベリリウム化合物の熱力学的および物理的性質 VIII 酸化ベリリウムの融解熱と 高温における熱容量	348
TiC の熱伝導度におよぼす炭素の影響	349
四塩化チタニウムの品質評価	349
四塩化チタニウムの品質評価	349
アルカリ塩中の塩化ジルコンの熱力学および電気化学的性質	350
液体 $ZrCl_4$ の二, 三の性質	447
IV, V属の遷移金属化合物の概算	447
Zr の電解析出過程及び精製過程について	448
$NaCl$ の存在下の Ti と $TiCl_4$ との反応	448
溶融 KF から成長させたチタン酸バリウムの形態に対する添加物の影響	448
溶融 $KNO_3-NaNO_2-NaNO_3$ 中の Zr 及び $Zircaloy-2$ の腐食	449

B.

塩化物融体の電解による Zr の精製	350
酸化物鉱石から塩化物蒸気としての Be の抽出	449
電解による耐熱金属, Zr, Hf, V, Nb, Cr, Mo, W の析出	450

5. B, Si, Nb, Ta, V, In

A.

硼素—白金系の構成の研究	35
コロンビューム—水素系	36
コロンビューム—亜鉛系	36
ニオビューム データ	36
鉄又はコバルトとタンタルの耐火性合金の高温	36
熱およびX線分析による KF-K ₂ NbF ₇ 系状態図の決定	37
300—1200°K間のNbの熱電気的性質	37
Na ₂ O-V ₂ O ₅ 系の状態図	37
Nbの酸化過程とNb ₂ O ₅ の構造	37
ボロンの溶融塩電解	38
液体金属の熱力学的性質 XII In-Tl系	38
In-InCl ₃ 系融体の電気伝導	38
B ₄ Cの高温に於ける熱電気性質	39
アルカリ金属塩化物と四塩化ニオブとの化合物の熱的安定性	39
耐熱性金属の電解析出による凝集性 II Taの析出に於ける電極反応	39
Ta, Nbの6価の弗化物	39
タンタル—臭化タンタル系およびタンタル—沃化タンタル系の平衡相図	40
Nbの0°Kから融点(2740°K)までの熱力学的性質	175
融体中での鉄—ケイ素合金の常磁化率の温度特性	175
高純度ケイ素の製造 I ケイ素と四塩化ケイ素との不均等化反応	176
高純度ケイ素の製造 II 金属亜鉛による四塩化ケイ素の還元機構	176
Boron and borax	176
¹⁰ BCl ₃ から ¹⁰ B の製造	177
水素還元により純金属ニオビウムの製造	177
溶融臭化物電解浴でヴァナジウムの電解精錬	177
液体Pu中への選択元素の溶解度 V Ta研究の改訂	177
NbCl ₅ -Al ₂ Cl ₆ 系における液一固, 液一気体平衡	178

電子回折によるNb ₄ Oの構造決定	178
硼砂融液への金属酸化物の溶解度	351
五酸化バナジウムとニオブを含む酸化物融液の表面張力と密度	351
溶融塩原子炉燃料の可溶性毒3. フラーバルの法則	352
LiCl-KCl共融物融液中のニオビウムと亜塩化ニオブの平衡	352
Cr ₃ Si, Cr ₅ Si ₃ , CrSiの固相並びに液相の電気伝導度	353
NbCl ₅ の水素還元	353
オキシフラーバルの法則からTaの電析機構	353
溶解度測定の為のKCl-LiCl中での低価のニオブ塩化物の電極電位	354
三酸化硼素の一酸化硼素への還元	354
B ₂ O ₃ の粘度と密度	354
SiI ₄ の蒸気圧	355
Siのアーカ・スペクトル	355
溶融塩電解によるTaの製造 IV. Ta金属の製造	355
帯精製によるBiI ₃ -SiI ₄ 系の状態図	450
InCl ₃ とFe, Co, Bi塩化物との反応	450
Nb-1%Zrの沸騰状態のKによる腐食試験	451
氷晶石中にB ₂ O ₃ をとかした溶融塩の電解によるBの製造	451
融点近くにおける固体や液体状態でのシリコンの熱伝導度	451
高融点金属とZrO ₂ とボライドの固相に於ける表面反応	451
Ni合金からのNi ₃ Nbの電解分離	452
結晶状酸化硼素の熱容量と融解熱	452
濃淡電池の起電力測定による溶融塩の熱力学的研究。SnCl ₂ -InCl系	452
塩化硼素を亜鉛で還元してBを作る	453

B.

電解Ta, Nbおよびその合金から炭素の除去	40
K ₂ NbF ₇ のZnによるNb金属への還元	40
ニオブおよびタンタル化合物の分離	178

6. RE, Th, U

A.

溶融におけるGdCl ₃ , DyCl ₃ とNaCl, KClの反応	41
---	----

2350°までのUO ₂ のエンタルピー	41
U ₃ O ₈ の標準エントロピー	41
ウラニウム炭化物の研究	41
ウラニウム炭化物中の酸素および窒素の溶解度	42
ウラン炭化物の製法および化学的性質	42
U-Cの熱伝導度	42
マグネシウムによるUF ₄ の還元(III)	43
ウラン酸化物の基礎研究 (III) UO ₂ -U ₄ O ₉ 系の電気伝導度	43
高温でのUCl ₃ , UCl ₄ のAmmonolysis	43
流動床における人形峠ウラン鉱石の塩素化	44
UO ₂ またはUF ₄ を原料とする溶融塩電解によるUO ₂ の生成	44
溶融UCl ₄ の電解による高純度Uの製造	44
溶融塩電解による高純度Uの製造	44
高温でのU-UO ₂ 相状態図	44
出発原料としてUO ₂ またはUF ₄ を用いる溶融塩電解によるUO ₂ の準備	45
希土類元素の酸化物及びクロマイトの凝固点	45
溶融弔化物塩の蒸発法による照射した原子炉燃料からウランの回収	45
塩化物電解によるUの電解精製	45
亜鉛-溶融塩(KCl-LiCl)系における炭化ウラニウムの反応	46
ScCl ₃ -MCl系の物理化学的研究 II KCl-ScCl ₃ 系の溶解図	179
融解塩を用いる原子炉に対するPu-Ce-Co燃料の開発	179
UCl ₃ の熱安定性	179
超ウラン元素の回収	180
二酸化ウランの-57~1100°における放射熱流法による熱伝導度	180
硫化ウラニウム製造のための溶融塩法の研究	180
溶融塩からUおよびThの電解製錬	180
高温拡散によるMo-UO ₂ サーメットからUO ₂ の消失	180
LiCl-KClの溶解共晶混合物中のランタニウムの弔化物錯塩の不安定定数	181
金属Ceとその溶融三塩化物の相互作用とCe(液体)+2CeCl ₃ (molten)	181
反応の平衡恒数	181
放射性物質の結晶学的研究	181
四弔化ウラン水化物の結晶化学的性質	181
蒸溜による融解ブルトニウムの精製に関する理論的計算	182
α -トリウム中へのブルトニウムの溶解度	182
YCl ₃ -NaCl-KCl系	182
陰極に溶融金属を使用した溶融塩中でのUCの電解	182
融解LiCl-KCl中のトリウムの酸化状態	183
ErCl ₃ -KCl系の気相における錯塩生成	183
溶融KC1-LiCl/Zn系のウラニウム・カーバイドの反応	183
LiCl-KCl溶融塩中のトリウムの酸化状態	184

硝酸セリウム(IV) の熱化学	184
固体の起電力測定法による ThB_4 , ThB_6 の生成自由エネルギーの測定	184
溶融アルカリ金属塩化物中の UO_2 と Cl_2 によるウラニルの生成 起電力測定 および熱力学的値	185
UF_6 と SO_2 の反応における化学的, 速度論的研究	185
希土類金属	185
250 ppm の Fe , 700 ppm の Al を含む U 中における UAl_2 の等温成長	186
$\text{Y}-\text{Co}$ 系	186
チタン合金の添加元素としてのウラニウム	186
UO_2 , UCl_2 , KCl を含む三元及び二元系の状態図の研究	356
$\text{Cd}-\text{Zn}-\text{Mg}$ 融体中での U と Pu の溶解度	356
融体からウラン炭化物球の生産	356
LaB_6 の蒸発	356
PuO_2 から金属 Pu への還元	357
超高純度 Pu の製法	357
高温での Pu 製造反応に対する熱力学の実際の適用	357
溶融塩中での反応 I $\text{LiNO}_3-\text{NaNO}_3$ 中でのウラネット, ネプチネート の形成	357
溶融 LaCl_3 電解に於ける陰極分極	358
$\text{La}_2\text{O}_3-\text{SrO}$ および $\text{La}_2\text{O}_3-\text{BaO}$ 系中で形成される化合物の光学的性質	358
ウラニウム一酸素系 $\text{UO}_{2.50}-\text{UO}_{2.67}$ の高温 X 線回折	358
溶融 UO_2 の金相学	359
$\text{KC1}-\text{LiCl}/\text{Zn}$ 系での炭化ウランの反応	359
$\text{NaCl}-\text{ErCl}_3$ 系に於ける飽和蒸気圧及び組成	453
$\text{NaCl}-\text{LaCl}_3$ 系に於ける飽和蒸気圧及び組成	453
UN の熱力学的性質	454
ThBr_4 の二形	454
液体 NH_3 中の Eu, Yb 溶液の電子スペクトル	454
Th, Pa, U, Np, Am 等のハライドの生成熱	455
UO_2-ZrO_2 系	455
溶融 KHSO_4 を用いる希土類元素のポーラログラフ的研究	455
KC1 と HoCl_3 , ErCl_3 との融体中での反応	455
ウラニアーウラニウム系の熱力学	455
溶融フッ化物中に於けるウラニウム金属と四フッ化ウランとの反応速度	456
金属上へのウランの電着 II	456
UF_4-UCl_4 2成分系	456
融解 ThF_4 の密度: 融解時の密度の増加について	456
$\text{KC1}-\text{ThCl}_4$ 系の蒸気圧と蒸気組成	457
希土類金属一塩系 X. 塩化およびヨウ化イットリウム, エルビウムの状態図, 希土類元素の還元性	457

U-Bi系融体の熱力学	457
-------------------	-----

B.

ウラニウムよりプルトニウムの電解分離	359
--------------------------	-----

7. ハロゲン

A.

弗素製造用の実験電解槽	46
溶融塩中の塩素および沃素のイオン化	187
塩素の熱力学的性質	458

B.

フッ素およびNa-Pb合金の製造	187
フッ素およびNa-Pb合金の製造	187
電解塩素	360

8. 耐火物，硝子，Slag

A.

高炉内張の溶融耐火物	47
スラグー金属系の電気化学	47
チタンスラグの酸化法	47
ガラス槽釜および平炉における塩基性レンガの損耗	47
二元系の平衡状態図と上部ガラス化限界との関係	48
ガラスを含むFe含有量の高いスラッグの物理化学的諸性質	48
溶融スラグーガス系における化学反応過程の表面効果	48
CaO-Al ₂ O ₃ -SiO ₂ スラグ融液の精製	49

Aluminoborophosphateガラス融液の蒸気圧	I. 実験法及び結果 49
Aluminoborophosphateガラス融液の蒸気圧 考察	II. 実験結果の熱力学的 49
溶融 $\text{Na}_2\text{O}-2\text{SiO}_2$ ガラス中における酸化-還元平衡	49
$\text{MgO}-\text{FeO}-\text{SiO}_2$ 融液の物理化学的性質および結晶化	49
$\text{FeO}-\text{CaO}-\text{P}_2\text{O}_5$ 系の平衡の詳細な研究	50
$\text{CaO}-\text{CaF}_2-2\text{CaO}\cdot\text{SiO}_2$ 相平衡状態図	50
溶融ガラスへの鉄の溶解機構	50
焼結温度におけるナトリウムガロ珪酸塩の合成	50
高マンガンスラグ中での固体炭素による酸化鉄の還元反応	51
高温、高圧下におけるメタ珪酸マグネシウムの変化	51
耐火化合物	188
titanic acidを含む溶融スラグの粘度の測定	
$\text{CaO}-\text{Al}_2\text{O}_3-\text{TiO}_2$, $\text{SiO}_2-\text{TiO}_2-\text{Al}_2\text{O}_3$, $\text{CaO}-\text{TiO}_2-\text{SiO}_2-\text{Al}_2\text{O}_3$ 系	188
溶融せる $\text{Cu}-\text{slag}$ の界面張力に及ぼす分極の影響	188
鋳造アルミナ耐火物	189
ジルコニアを基体とする鋳造耐火物	189
溶融スラグの粘度 I $\text{CaO}-\text{SiO}_2$ -アルカリ土類弗化物系	189
ガラス中の結晶成長	189
バイロセラムの非晶質相の決定	189
チタニウム塩核ガラスセラミックス中にみとめられたチタン酸鉛の準安定等軸形	190
アルカリのない珪酸塩ガラスの製造	190
半導体ガラスの電導の機構と構造	190
珪酸塩ガラスの熱的安定性と熱抵抗性	190
ジルコン耐火物の侵食生成物	190
ZrO_2-MgO 固溶体の分解機構	191
Al_2O_3 と SiO_2 融体中における MgO とS含有物の活量と活量係数	191
Refractory metalsの酸化機構	191
冶金反応におけるスラグの構造と酸化還元電位への依存性	191
1400~1800°におけるスラグの表面張力の測定	192
Moとは反応しない混合物の平衡状態図 $\text{Ca}(\text{AlO}_2)_2-\text{Al}_2\text{O}_3$,	
$\text{NaAlO}_2-\text{Al}_2\text{O}_3$, $\text{La}_2\text{O}_3-\text{Al}_2\text{O}_3$ 系	192
液状珪酸塩の構造	360
ジルコニア、チタニアねこひげを溶融塩浴から成長させることと、その性状	361
NbC , TaC に於けるCの拡散	361
高温絶縁材料の熱的性質に関する研究	361
アルカリホウ酸塩およびアルカリ珪酸塩系ガラス中における $\text{Ce}^{2+}-\text{Ce}^{3+}$ の平衡	362
Na_2SiO_3 および $\text{Na}_2\text{Si}_2\text{O}_5$ の高温における熱力学的性質と融体におけるpH	362
$4\text{PbO}\cdot 5\text{B}_2\text{O}_3\cdot 2.5\text{H}_2\text{O}$ の製造とその二三の性質	362

3 CaO · SiO ₂ の熱分解に及ぼす添加物の影響	362
溶融ガラスの電気抵抗の計算	363
溶融ガラスの電気伝導度自動測定装置	363
溶融ホウ酸ガラスの密度	363
耐火材料としてのSiCの品質評価	364
ガラス生成融液としてのAsSe _x I _y	364
As · S系のガラスの組成および密度	364
TeO ₂ に基づいた2成分および3成分系ガラスの生成と物理化学的性質	364
Fluoroberyllateガラスの溶融に及ぼすガス雰囲気の影響および、 UV領域における光の吸収について	364
ガラス中における酸素イオンの活量および酸化還元平衡に及ぼす影響	365
アルカリホウ酸塩ガラスの性質に及ぼすホウ素の配位数の影響	365
溶融状態および結晶系における配位数	365
複雑なケイ酸塩の融点	365
炭素を含まぬFe-Crの製造時のメタルースラグ間の表面現象	366
溶融スラグへの酸化クロムの溶解およびクロムの電価の研究についての電気 化学的方法	366
カルシウムーシリケートスラグ中の酸化鉄の熱力学特性	366
エレクトロスラグの生成、再溶解、加熱に対するフラックスの粘性とその適用性	367
溶融ガラスでの超音波吸収、粘性およびfree volume	367
アルカリーアルカリ土類硝酸塩系のガラス化の傾向	458
CaO-MgO-SiO ₂ , MgO-Al ₂ O ₃ -SiO ₂ 系の熱力学的性質	459
1100°CにおけるPbO-ZrO ₂ -TiO ₂ 系	459
コランダム再結晶の速度論	459
少くともSiO ₂ を50 mole %含むアルミノ珪酸塩融液の構造	459
酸化硼素ガラス中のラントニドの光吸収	460
スラグ電気加熱の基礎となる溶融フラックスの電気伝導度	460
スラグ中の鉛の溶解度	461

B.

電気絶縁ガラス	51
耐熱セラミック	51
ガラス研磨材	192
Al-oxideを基体とする焼結高耐火物	193
高純度石英ガラス	193
イオン敏感性ガラス	461
コランダムの単結晶製造法	461

◎ その他の

A.

Pt—Rh上でのアンモニアの触媒的酸化に及ぼす酸素原子の影響	52
非水電解液の熱化学 III メタノール中におけるNa IとK Iの溶解熱	52
KOH融液中のマンガン酸化物の挙動	52
MnO ₂ , Mn ₂ O ₃ への微分熱分析の応用	53
Cr(III)とクロム酸間の不均一変化	53
塩化物溶融溶媒中に於けるCo(III)	53
Sc, Y, Prの高温酸化	54
電解析出の過程に於ける液体及び固体Gaの表面不働態化	54
溶体中の錫の陰極精製	54
CoとNiの分離についての溶融塩電気化学的方法	54
KCl—ZnCl ₂ 混合融液中におけるTl(III)によるClイオンの酸化	55
MgOとCr ₂ O ₃ の焼結および反応	55
固体陰極上における液体金属析出物の生成	55
陽極反応中における溶融塩—グラファイト界面のグラファイト電極におよぼす影響	55
カドミウム—塩化カドミウム融液	193
融解塩中のBiの電着	194
融解水酸化ナトリウム中の金属間化合物体の移動	194
融解炭酸塩の電解時における白金およびニッケル陰極上に生ずる過程	194
融解アルカリ硝酸塩中の水(溶質)のボルタンメトリー	195
実験室用の高温(3000°)グラファイト炉	195
molten pyrolysis productsからcarbon fiberの製造	195
燃料電池の電解質としての溶融アルカリ金属炭酸塩中の化学的および電気化学的反応	196
溶融体から酸化物単結晶の成長	196
1750°C以上の高温で黒鉛から金属不純物の除去	196
黒鉛るつぼの製造研究 I 黒鉛るつぼの保護融剤の研究	196
黒鉛上に炭化ニオビウム、炭窒化硼素被覆	196
WO ₂ Cl ₂	197
ガリウムとセレニウムの相互作用	197
溶融塩化物中でのMoの電気化学的腐蝕	197
溶融塩中における酸塩基反応 ジクロメートークロレート反応	198
451気圧までの溶融硝酸ナトリウム(369°)へのアルゴンの溶解度	198
有機溶融塩 IV	198
高速原子炉燃料としての溶融塩化物中の核分裂生成物効果	199
溶融ソジウム・メターアルカリとバイローバナデイトとフエライトの反応	199

硝酸ニッケルの熱分解に関する添加物の効果	199
クロミウム・トリオキサイドのクロミウム(IV)オキサイドへの還元	200
溶融炭酸塩のペースト状電解質を持つ高温型燃料電池 I 一般的考察と実験結果	200
溶融LiNO ₃ —NaN ₃ O ₃ —KNO ₃ を支持電解質とし、対流拡散の条件下でのポーラロ的研究	200
WO ₃ のH ₂ による還元	201
溶融Pu中の特定元素の溶解度 VI Re	201
溶融塩からバリウムフエライト単結晶の成長	367
溶融炭酸塩電解質燃料電池	368
金属間化合物を含む塩化物融液中の陰極過程	368
KCl中での第一鉛イオンの拡散パラメーター	368
反応媒体としての溶融塩化ガリウムの使用	369
アルカリ塩化物融体でのZnの陽極溶解	369
浸漬型の改良式Mo—電極によるLiCl—KClとNaF—KF—LiF共晶での金属イオンのポーラログラフィーの研究	369
溶融鉛及びタリウム塩化物の自己拡散	369
高温燃料電池 II 陽極の分極特性	370
高温燃料電池 III 陰極の分極特性	370
液安中でのAg/AgCl, Cl ⁻ 電極の挙動	370
塩化物融液からの銀の電極析出	370
高温における電気化学的方法・溶融アルカリ炭酸塩溶液中の反応および燃料電池の電極の腐食反応の熱力学	370
溶融塩化物浴中の白金電極上への銀の析出と溶解	371
溶融硝酸塩の黒鉛陽極での反応	371
溶融塩の電気化学とその応用	371
複雑硫化精錬のソーダによる電気製錬	371
溶融ヘロゲン化物からの銀の電着における表面拡散とデンドライトの生長	372
溶融塩電解によって得られたCr結晶のX線回析	462
金属粉末とHFとの反応による金属フッ化物の生成	462
溶融アルカリ硝酸塩中で真空中での炭酸亜鉛の分解	462
KCl—ZnCl ₂ 溶融塩の中でのCu ²⁺ によるCl ⁻ の酸化	463
黒鉛上のチッ化アルミニウム被覆	463
水銀の表面流	463
カドミウムイオン電極反応の運動論、静電法によつて作られたカドミ・アマルガム	463
インジウム—アンチモニー・アマルガムの電気化学的性質	463
融液から結晶を成長させる方法	464
溶融塩中のシアン化遷移元素の可視部スペクトル。A. borazineとcyclotriborazanesの合成	464
MSREの設計と操業報告。VI 溶融塩原子炉実験の安全操業限界	464

YIG (イットリウム鉄ガーネット) の融液成長の際の $PbO-PbF_2$ 液の揮発	465
高温冶金的および高温化学的燃料再処理	465
Hg-Cd, Hg-Bi 系の熱力学的研究	465
溶融金属及び合金によるダイヤモンド, 黒鉛の濡れ (IV) 炭素に対して不活性な金属の濡れに及ぼす温度の影響	466
$NaCl-AlCl_3$ 浴に対する 2, 3 の構造材料の腐食	466

B.

半導体の p-n 接点の調製	201
可溶性陽極法による溶融塩からの鉄の電解析出	466
アルカリ金属の真空熱還元用電気炉	467
単結晶の製造	467
金属製造法としての融解塩電解	467
金属ハロゲン化物の熱分解による金属製造装置	468

特別講演および研究報告討論会要旨

No. 1

ベースト電解質の電気伝導度	59
(阪大工) 塩田公一, 宮田敏行, 田村英雄, 石野俊夫	
金属と溶融塩の相互反応 II. 電気伝導度測定	71
(阪大工) 亀頭直樹, 浜 能子, 佐野忠雄	
溶鋼-溶融スラグ間の界面張力におよぼすスラグ組成の影響	83
(阪大工) 足立 彰, 萩野和己, 末溝哲郎	

No. 2

高温型塩素水素燃料電池の放電機構の検討および試作	205
(京大工) 吉沢四郎, 竹原善一郎, 中西洋一	
窒化硼素について	227
(昭和電工㈱中央研) 矢野友三郎, 松尾 正	
電極反応からみた溶融塩系と水溶液系	245
(横浜国立大工) 高橋正雄	

No. 4

アルミニウム電解製錬に関する2, 3の問題について	471
(住友化学工業) 好本太郎, 阿部方朋	
固体イオニクス	472
(名古屋大学工学部) 高橋武彦	
銀/塩化銀電極におよぼす塩素圧の影響	474
(名大工) 桐原朝夫, 井関道夫	

塩素圧による溶融塩化銀浴の吸収スペクトルの変化	484
(名大工) 桐原朝夫 井関道夫	
金属と溶融塩の相互反応—電気伝導度—	496
(阪大工) 亀頭直樹 浜 能子 三宅正宣 佐野忠雄	
Pt Na ₂ O—SiO ₂ 溶融ガラス Pt 系の交流インピーダンス	511
(岡山大工) 高橋克明 平井竹次 三浦嘉也	
溶融食塩電解 — とくに臨界電流密度	521
(大阪曹達研) 金谷泰宏 仁加保幸雄 横田範之	
(京大工) 渡辺信淳 吉沢四郎	
C I T C E 京都討論会について	533
(京大工) 吉沢四郎	
(阪大工) 田村英雄	

講義

No. 1

精密天びんの現状と高温物性測定への応用	93
(長計量器) 岩田重雄	

文献紹介

No. 1

ガラスの清澄および消色剤としての二酸化セリウム	115
(訳者) 関西大工 山手有	
珪酸塩融液とステールとの反応について	123
(訳者) 関西大工 山手有	

No. 2

陽極効果に関する研究 263
(京大工) 渡辺信淳 金谷泰宏

MgCl₂—NaCl—BaCl₂系融液の粘度 279
(関西大工) 山手有

No. 3

溶融塩電極反応の測定 375
(東大工) 向坊 隆 朝倉祝治

No. 4

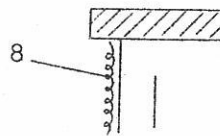
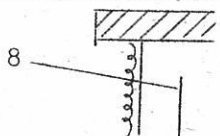
溶融塩の構造と性質 551
訳 (京大工) 渡辺信淳 小山義之

正 誤 表

Vol. 9, № 1

ペースト電解質の電気伝導度

(阪大工) 塩田, 宮田, 田村, 石野

頁	行	誤	正
61	図1		
62	↑6	$\text{Li}_2\text{CO}_3 : \text{Na CO}_3$	$\text{Li}_2\text{CO}_3 : \text{Na}_2\text{CO}_3$
65	図2	$\text{Li}_2\text{CO}_3 : \text{Na}_2\text{CO}_3 (1:1)$ $\text{Li}_2\text{CO}_3 : \text{Na}_2\text{CO}_3 : \text{K}_2\text{CO}_3 (4:3:3)$	$\text{---O---} \text{Li}_2\text{CO}_3 : \text{Na}_2\text{CO}_3 (1:1)$ $\text{---△---} \text{Li}_2\text{CO}_3 : \text{Na}_2\text{CO}_3 : \text{K}_2\text{CO}_3 (4:3:3)$

金属と溶触塩の相互反応 II 電気伝導度測定

(阪大工) 亀頭, 浜, 佐野

頁	行	誤	正
73	式(1)	Sm	S n

精密天秤の現状と高温物性測定への応用

(長計量器) 岩田

頁	行	誤	正
101	式(5)の分子	$1 - \frac{\rho_a}{\rho_s}$	$1 - \frac{\rho_a}{\rho_w}$

頁	行	誤	正
105	表 6	50 0,99804	50 0,98804
108	4	Mullenseifer	M ü llenseifer
118	23)	Mullenseifer	M ü llenseifer

Vol. 9, № 2

高温型塩素水素燃料電池の放電機構の検討

および試作

(京大工) 吉沢, 竹原, 中西

頁	行	誤	正
207	式 (2)	$E_2 =$	$E =$
208	式 (6)	$2 Cl^- + 2e \rightarrow Cl_2$	$2 Cl^- \rightarrow Cl_2 + 2e$
	↑ 2	両極	塩素極
217	10	cは常数である。	cは定数である。
218	13	偏奇	偏り
219	6	基づく	基づく
221	2	基いて	基づいて
222	↑ 8	分るようすに,	解るようすに
225	2	基いて	基づいて
226	3	図 16 c 曲線に	図 18 c 曲線に

陽極効果に関する研究

(京大工) 渡辺, 金谷

頁	行	誤	正
267	6	Debyescherrer	Debye-Scherrer

頁	行	誤	正
272	↑4	水晶液	水晶石
273	図	+ $\text{Al}_2\ell_3$	+ Al_2O_3
274	↑6	[6] P.Mergauet, " paris	[6] P.Mergault, Paris
275	図1	△ LO_2O_3	△ La_2O_3
278	↑3	Pares	Paris
	↑2	Pares	Paris

Vol. 9, № 3

溶融塩電極反応の測定

(東大工) 向坊, 朝倉

頁	行	誤	正
378	図3(a)	脱落	横軸(電流)の単位 A/dm^2 縦軸(電圧)の単位 mV
380	1 式(1)	Gievst $C \frac{2I}{nF} \cdot \sqrt{\frac{t}{\pi D}} e^{\lambda^2}$ $\lambda = x / \sqrt{2Dt},$	Gierst $C - \frac{2I}{nF} \cdot \sqrt{\frac{t}{\pi D}} e^{\lambda^2}$ $\lambda = x / 2 \sqrt{Dt},$
	式(2)	$-2It / nF\pi D$	$-2I\sqrt{t} / nF\pi D$
	式(4)	$= \frac{\sqrt{\pi}}{2} nF\sqrt{D} -$	$= \frac{\sqrt{\pi}}{2} nFC\sqrt{D} -$
381	表1	垂直円筒	垂直円筒
385	11	用いるか。又は	用いるか、または
390	式(13)	$\frac{C_{\text{rad}}^o}{C_{\text{red}}}$	$\frac{C_{\text{red}}^o}{C_{\text{red}}}$

頁	行	誤	正
390	↑1	(14) になる。*	この*は p.391 の脚注に相当する
391	式15	$\operatorname{erfc}(\lambda t)$	$\operatorname{erfc}(\lambda \sqrt{t})$
	10	$\lambda t \ll 1$	$\lambda \sqrt{t} \ll 1$
	11	$\lambda t \ll 1$	$\lambda \sqrt{t} \ll 1$
	"	(t, i)	(\sqrt{t} , i)
393	6	(t, lnich)	(t, ln i ch)
397	↑2	/RT	/4 RT

Vol. 9, № 4

Pt | Na₂O - SiO₂ 溶融ガラス | Pt 系の
交流インピーダンス

(岡山大工) 高橋, 平井, 三浦

頁	行	誤	正
514	14	は $1/\omega$ を横軸	は $1/\sqrt{\omega}$ を横軸

溶融食塩電解 - とくに臨界電流密度

(大曹・研究所) 金谷, 仁加保, 横田

(京大工) 渡辺, 吉沢

頁	行	誤	正
521	↑8	合金する	合金にする
526	↑11	これらは	これは
530	↑1	Tsvet. met.,	Tsvet. met.

溶融塩の構造と性質

(京大工) 渡辺, 小山

頁	行	誤	正
551	2	E.A.Ukshe	E.A.Ukshe, Uspekh Khimi i, 34, 322~55 (1965)
552	4	冶金学が	冶金学と
	10	Marachevskii	Morachevskii
553	↑10	Korcles	Kordles
554	図1	K ₂ CrO ₇	K ₂ Cr ₂ O ₇
555	式(2)	$\epsilon_{\max} = \epsilon_i$	$\epsilon_{\max} = \epsilon_i$
556	式(5)	n _t =	n _t =
557	↑12	研究されるようになった。78~81)	研究されるようになつた。73~81)
	↑10	Jany	Janz
	↑8	Bradlury	Bradbury
559	3	立証された。	立証された。74, 81)
	↑5	Prens	Prins
	↑2	Warrer	Warren
560	↑1	KOH	KOH ⁹³⁾
561	4	第一 (n ⁺ - x ⁻)	第一 (N ⁺ - X ⁻)
	"	x ⁻ - x ⁻	X ⁻ - X ⁻
562	9	Jeager	Jaeger
564	式(11)	. . . (dV/dρ) _S = ρ ⁻² . . .	(dV/dp) _S = ρ ⁻¹
	式(12)	- $\frac{1}{V} (\frac{dV}{d\rho})_T = \beta_S \times \frac{C_P}{C_V}$	- $\frac{1}{V} (\frac{dV}{dp})_T = \beta_S \times \frac{C_P}{C_V}$
	表6	($\times 10^2$ cm ² /dyne)	($\times 10^{12}$ cm ² /dyne)
565	6	Jeager	Jaeger
	↑6	Semechenko	Semenchenko
566	式(15)	(C _P ^{solid}) _f	(C _P ^{solid}) _f

頁	行	誤	正
567	7	てきた。 ^{172~176)}	てきた。 ^{166, 172~176)}
	↑8	存在することがわかった。 ^{176~185)}	存在することがわかった。 ^{179~185)}
568	1	$dL_{vap}/\alpha T \dots$	dL_{vap}/dT
	式(17)	$\log \rho$	$\log p$
	↑5	$N = d n_0 \exp(-L^0_{vap})$	$N = \alpha n_0 \exp(-L^0_{vap})$
	↑4	$\alpha \rho_{crit} \exp(-L^0_{vap}/RT)$	$\alpha \rho_{crit} \exp(-L^0_{vap}/RT)$
	5	...場合もある。	...場合もある。 [*]
	↑3	$\dots = n_0 M / N_A$	$\dots = n_0 M / N_A$
569	↑9	...結論が得られる。	...結論が得られる。 ⁵⁾
	↑1	(mp = 68°)	(tf = 68°)
570	9	3e.u.gion ⁻¹	3e.u.x g-atom ⁻¹
	14	減衰の測定 ^{217, 220)}	減衰の測定 ^{217~220)}
	式(19)	ΔE_{vap}	ΔE_{vap}
	↑4	$\Delta E_{vap} = L_{vap}$	$\Delta E_{vap} = L_{vap}$
	式(20)	ΔE_{vap}	ΔE_{vap}
		L_{vap}	L_{vap}
571	9	Van-der-Waals	van-der-Waals
	↑2	$6 cm^3 \times mole^{-1}$	$6 cm^3 \times mole^{-1}$
572	1	げられている。	げられている。 ^{139, 140)}
	式(23)	$\Delta = \frac{kT}{6\pi\eta r_i}$	$\Delta = \frac{kT}{6\pi\eta r_i}$
573	↑6	Mailey, ²²⁵⁾	Mailey, ²⁵⁵⁾
	↑5	Brltz	Biltz
574	式(28)	$(\Delta H^*/RT)$	$(-\Delta H^*/RT)$
575	式(31)	$E_A = E_K \dots$	$E_A = E_K$
	7	$A = \exp(55709\dots)$	$A = \exp(55709\dots)$
576	1	示した。	示した。 ⁷⁾
	↑1	Klemm ²⁵³⁾	Klemm ²⁵⁸⁾
577	↑8	...何人かの著者は	...何人かの著者は ^{303~305)}

頁	行	誤	正
578	*	Makov	Markov
	**	$ZeE = K_{ri} u_i$	$ZeE = K_{ri} u_i$
579	↑8	Gambill ³⁸⁸⁾	Gambill ³⁸⁸⁾
580	式(40)	$\mu = 4.26 \dots$	$\mu = 4.28 \dots$
	↑9	... 起りうる。 ^{342~347)}	... 起りうる。 ^{342~347)}
	↑6	Saverwald	Sauerwald
	↑3	20~50%	20~25%
581	表16	(cm ³ /mole)	(cm ³ /mole)
	式(42)	$\Phi_{\text{lig}} = \frac{1}{N!}$	$\Phi_{\text{lig}} = \frac{1}{N!}$
582	式(45)	$T \frac{\alpha}{\beta}$	$T \frac{\alpha}{\beta}$
	式(49)	$\frac{RT}{p_b} \exp(-\frac{L_{\text{vap}}}{RT_b})$	$\frac{RT}{p_b} \exp(-\frac{L_{\text{vap}}}{RT_b})$
583	9	Fürth ^{370, 373)}	Fürth ^{370~373)}
	↑5	判定基準；	判定基準； ³⁷⁸⁾
584	4	提案した。	提案した。 ²²⁾
	式(56)	$\gamma = \tanh(\epsilon_0 \gamma / 2kT)$	$\gamma = \tanh(\epsilon_\eta \gamma / 2kT)$
	図7	... 温度による変化	... 温度による変化 ²²⁾
585	3	Bresler ³⁷⁷⁾	Bresier ³⁷⁷⁾
	6	$\xi = [1 + P \exp(\dots)]$	$\xi = [1 + \rho \exp(\dots)]$
	式(61)	$V_g =$	$v_g =$
586	式(62)中段	$(-\frac{aE}{2N_g RT} ((\frac{V_{\text{liq}}}{V_{\text{solid}}})^{\frac{1}{2}}))$	$(-\frac{aE}{2N_g RT} ((\frac{V_{\text{liq}}}{V_{\text{solid}}})^{\frac{1}{2}}))$
	表18	$V_{\text{liq}} \text{ cm}^3/\text{mole}$	$V_{\text{liq}} \text{ cm}^3/\text{mole}$
587	式(65)	$8N [V^{\frac{1}{3}} - \sigma]^3$	$8N [V^{\frac{1}{3}} - \sigma]^3$
588	↑2	Zn Br ²⁴⁰⁾ 。	Zn Br ₂ ²⁴⁰⁾ 。

世界の最高水準 1600°C

特許シリコニット発熱体

柄附形（JIS 1種），棒形（JIS 2種），螺管形
其他異形各種豊富・品質，納期責任納入

高級シリコニット電気炉

管状炉・箱形炉・坩堝炉・ガス雰囲気炉
真空炉各種 - 無事故・高性能 -

1800°C 特超高温シリコニット電気炉

変圧器・配電盤

S形・D形・P形・PI形・PC形・PR形等
(普通形と非露出形あり)

高級耐火断熱煉瓦 特許ボアランダム

耐火SK38 嵌比重1.3閉孔性多孔質アメリカ製
アルフルックスと同級品1650°Cに安全使用可能・弊
社で完成の新発明品

高温計・自動調節計 記録計・熱電対



シリコニット高熱工業株式会社

東京営業所 東京都板橋区熊野町26番地

電話 東京(956) 代表 2121

大阪営業所 大阪市北区岩井町1の62(岡田ビル)

電話 大阪(352) 5247・2527・2528

本社工場 埼玉県足立町

及研究所 電話 志木215・216・311朝霞0484(61)4558

設計要項付総合カタログ1963年版
広告誌名記入御申込の方に贈呈

自動示差熱天びん TRA₁-L型

- ◎ 温度、質量、示差熱変化が同時に記録できる。
- ◎ 特別設計の定感量型直示天びん使用。
- ◎ 高速度の気流中で安定に動作。
- ◎ 高感度の試料容器で再現性極めて優秀。

▶ 仕様 ◀

ひょう量: 1 g

実感量: 0.1 mg

測定温度: 常用 1000°C 最高 1200°C

質量記録範囲: 0~±100mg, 0~±250mg, 0~±500mg, 0~±1 g。

示差熱記録範囲: 0~±10 μV, 0~±25 μV, 0~±50 μV, 0~±100 μV
0~±250 μV, 0~±500 μV, 0~±1000 μV

陥入式粘度測定装置 PM₁-L型

- ◎ $10^6 \sim 10^{11}$ までの半溶融状態に於けるガラス、スラグ、
ピッチ等の粘度測定が迅速、正確に行える。
- ◎ 同一試料で6回まで測定可能。

▶ 仕様 ◀

測定範囲

粘度: $10^6 \sim 10^{11}$ ポアズ

温度: 常温~1200°C

測定精度: 3 %

営業品目

直示天びん・微量天びん・各種自動熱天びん・高温粘度測定装置

株式会社 **長計量器製作所** チョウ

京都市南区久世築山町376の2 TEL (075) (92) 6381~4

東京営業所 / 東京都中央区日本橋浜町3の26浜町京都ビル TEL (667) 5908~9